

## UM ESTUDO SOBRE A INFLUÊNCIA DOS FATORES DE RELAXAÇÃO NA CONVERGÊNCIA DA SOLUÇÃO DE PROBLEMAS INCOMPRESSÍVEIS

Maicon W. N. Odone<sup>a</sup>, Elson M. Toledo<sup>a,b</sup> e Luis Paulo S. Barra<sup>a</sup>

<sup>a</sup>Programa de Pós-Graduação em Modelagem Computacional, Universidade Federal de Juiz de Fora (UFJF), Juiz de Fora, Minas Gerais, Brasil, <http://www.ufjf.br/pgmc>

<sup>b</sup>Laboratório Nacional de Computação Científica (LNCC), Petrópolis, Rio de Janeiro, Brasil  
<http://www.lncc.br/>

**Palavras Chave:** Escoamentos incompressíveis, Volumes finitos, Fatores de relaxação

**Resumo.** Muitos problemas em dinâmica dos fluidos são formulados em termos de equações de movimento que, além da não linearidade, apresentam acoplamento entre o campo de pressões e o campo de velocidades. Os problemas se tornam ainda mais complexos no caso de escoamentos incompressíveis, onde não existe equação relacionando diretamente a pressão como variável primária. Na solução numérica desses tipos de problemas, utilizando o método dos volumes finitos, a não linearidade e o acoplamento pressão-velocidade frequentemente são tratados por meio de algoritmos iterativos como o SIMPLE e suas variações. Esses algoritmos são suscetíveis à problemas de convergência se fatores de relaxação não forem empregados durante o ciclo iterativo. A escolha de fatores de relaxação, por si, pode representar um desafio pois dependem do tipo de problema a ser resolvido, influenciando a taxa de convergência. Além disto a utilização de valores fixos pode não ser adequada para todas as iterações e passos de tempo, sendo necessário variá-los ao longo do processo iterativo. Neste trabalho apresenta-se um estudo sobre o controle dos fatores de relaxação para o algoritmo iterativo SIMPLE visando a redução do número de iterações e a consequente redução do tempo de execução dos processos computacionais. Um método de controle dos fatores de relaxação para as equações de movimento é apresentado e implementado para os problemas de convecção natural e circulação em uma cavidade fechada e de circulação com fluxos de entrada e saída. O método proposto apresentou resultados satisfatórios para os problemas estudados neste trabalho.

## 1 INTRODUÇÃO

Muitos problemas encontrados em aplicações industriais, metalúrgicas e de engenharia consistem em modelos baseados nas equações da termodinâmica e nas equações de transporte para escoamento de fluidos (equações de conservação da quantidade de movimento linear acrescidas da equação da continuidade). Este último conjunto de equações apresenta duas principais dificuldades: a não-linearidade e a presença do termo do gradiente de pressão (Versteeg e Malalasekera, 2007). No caso de escoamentos compressíveis a equação de conservação da massa pode ser usada como uma equação de transporte para a densidade e o campo de pressões pode ser obtido através da densidade e da equação da energia por meio de uma equação de estado (Versteeg e Malalasekera, 2007). Já para escoamentos incompressíveis, ou seja, onde a densidade é constante, o problema se torna mais complexo pois neste caso a pressão não está relacionada com a densidade e não existe equação envolvendo diretamente a pressão como variável primária (Moukalled et al., 2016). Nestes casos, a equação da continuidade impõe uma restrição às equações de Navier-Stokes tal que, se o campo de pressões correto for empregado às mesmas, então o campo de velocidades obtido com sua solução irá satisfazer a equação da continuidade (Ferziger e Peric, 2012; Versteeg e Malalasekera, 2007).

Na solução numérica das equações de Navier-Stokes acrescidas da equação da continuidade frequentemente são adotados algoritmos segregados, onde cada equação é resolvida separadamente e iterativamente (Morii e Vierow, 2000; Min e Tao, 2007; Chatwani e Turan, 1991), e ambos os problemas relacionados à não-linearidade e o acoplamento pressão-velocidade são tratados. No contexto dos algoritmos iterativos para a solução desses problemas pode-se destacar o algoritmo SIMPLE, acrônimo de Semi-Implicit Method for Pressure Linked Equations (Patankar, 1980) e suas variações como o SIMPLEC (SIMPLE Consistent - Doormaal e Raithby (1984)), SIMPLER (SIMPLE Revised - Patankar (1981)), PISO (Pressure Implicit with Splitting of Operators - Issa (1986)) dentre outros.

Embora algoritmos como o SIMPLE e suas variações lidem bem com os problemas associados a não-linearidade e o acoplamento pressão-velocidade, eles apresentam características de convergência lenta, necessitando empregar fatores de relaxação para evitar o surgimento de oscilações e instabilidades numéricas (Morii e Vierow, 2000; Marek e Straub, 1993). Estudos tem mostrado que o emprego de fatores de relaxação tende a diminuir ainda mais a velocidade de convergência do algoritmo devido a seu efeito de amortecimento ao longo das iterações (Marek e Straub, 1993). Assim, a escolha de fatores de relaxação adequados, de modo a acelerar e permitir a convergência e estabilidade deste algoritmo é uma questão em aberto, de suma importância e um desafio, uma vez que dependem dos problemas a serem resolvidos e o emprego de valores fixos pode não ser adequado para todas as iterações (Versteeg e Malalasekera, 2007).

No presente trabalho um método para automatizar o cálculo dos fatores de relaxação para as equações de movimento no algoritmo SIMPLE é apresentado. A ideia é que um novo valor para o fator de relaxação seja calculado após um dado número de iterações e que esse processo de automatização permita reduzir o número de iterações e o tempo total de execução deste processo em comparação com o emprego de fatores de relaxação fixos. O método, baseado em Min e Tao (2007) é apresentado e empregado em uma implementação do método dos volumes finitos (MVF) com alocação deslocada das variáveis para os problemas de convecção natural e circulação em uma cavidade fechada e de circulação com fluxos de entrada e saída.

## 2 EQUAÇÕES GOVERNANTES E ALGORITMO SIMPLE

### 2.1 Equações do movimento e da energia

Para os problemas abordados neste trabalho, serão considerados escoamentos de fluidos newtonianos incompressíveis em regiões bidimensionais e em regime permanente (estacionário). Estes escoamentos podem ser modelados pelas equações de conservação da quantidade de movimento linear (equações de movimento) com as componentes da velocidade restritas à equação da continuidade (ou equação de conservação da massa) que podem ser escritas como (Odone et al., 2013, 2015)

$$\nabla \cdot (\rho \vec{V}u) - \nabla \cdot (\mu \nabla u) = -\frac{\partial p}{\partial x} + S_u \quad (1)$$

$$\nabla \cdot (\rho \vec{V}v) - \nabla \cdot (\mu \nabla v) = -\frac{\partial p}{\partial y} + S_v \quad (2)$$

$$\nabla \cdot \vec{V} = 0 \quad (3)$$

onde  $u$  e  $v$  são as componentes do vetor velocidade  $\vec{V}$ ,  $\rho$  é a densidade,  $\mu$  a viscosidade,  $p$  a pressão e  $S_u$  e  $S_v$  representam termos fonte.

Em problemas termodinâmicos, que envolvem variação de temperatura além do escoamento, é necessário o emprego da equação de conservação da energia que pode ser escrita como:

$$\nabla \cdot (\rho c \vec{V}T) - \nabla \cdot (k \nabla T) = S_T \quad (4)$$

onde  $T$  é a temperatura,  $c$  é o calor específico,  $k$  a condutividade térmica e  $S_T$  representa termos fonte. Modificações na equação (4), como escrevê-la em função da entalpia ou adição de termos fonte adequados pode ser necessário dependendo do modelo estudado.

### 2.2 Discretização

A solução do sistema de Equações (1) a (4) requer sua discretização por algum método. Neste trabalho emprega-se o MVF que consiste na integração de cada uma das equações em volumes de controle como ilustrado na Figura 1.

Alocação deslocada (staggered) das variáveis é empregada (Versteeg e Malalasekera, 2007; Moukalled et al., 2016). Assim, as equações de movimento bem como a equação da continuidade são integradas nos volumes de controle em torno de pontos como  $e$  e  $n$  para as componentes da velocidade  $u$  e  $v$ , respectivamente. Variáveis escalares, como a temperatura e a pressão são alocadas em pontos como  $P$  e a equação da energia é integrada nos volumes de controle ao redor de pontos como  $P$ . Aproximação dos termos difusivos são feitas usando esquema de diferenças centrais enquanto que os termos convectivos são aproximados por esquemas como *upwind* ou híbrido (Patankar, 1980; Versteeg e Malalasekera, 2007).

Assim, fazendo-se o processo de integração das equações (1), (2) e (4) nos seus correspondentes volumes de controle, aproximando-se os fluxos difusivos e convectivos através das faces dos volumes, agrupando e reordenando os termos pode-se escrever as seguintes equações discretas para as equações do movimento e da energia, respectivamente:

$$a_e u_e = \sum a_{nb} u_{nb} + (p_P - p_E) A_e + b_e \quad (5)$$

$$a_n v_n = \sum a_{nb} v_{nb} + (p_P - p_N) A_n + b_n \quad (6)$$

$$a_T T_P = \sum a_{nb} T_{nb} + a_P^0 T_P^0 + b_P \quad (7)$$

onde cada  $a_i$  são os coeficientes contendo combinações da discretização dos termos difusivo e convectivo,  $(p_P - p_E)A_e$  e  $(p_P - p_N)A_n$  representa a integração do gradiente de pressão em cada uma das equações do movimento e cada somatório se dá sobre cada um dos pontos vizinhos para cada respectiva variável (Odone et al., 2013, 2015).

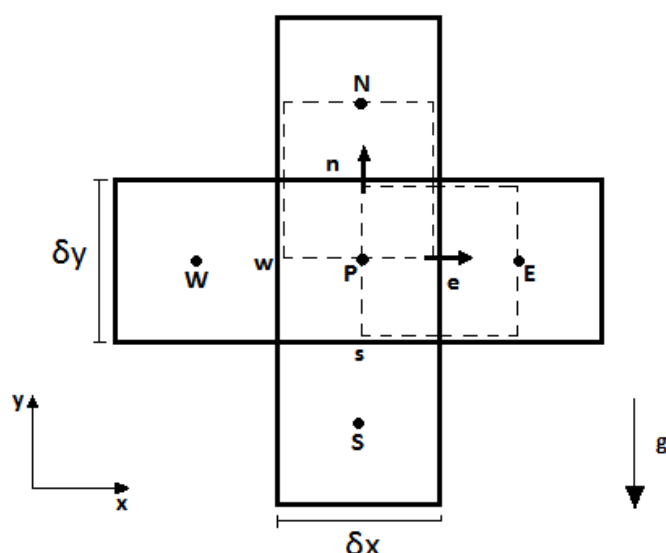


Figura 1: Volume de controle para o método dos volumes finitos

### 2.3 Algoritmo SIMPLE

O algoritmo SIMPLE é a base para uma série de algoritmos similares com o propósito de resolver iterativamente um problema de escoamento incompressível. No que segue, apresenta-se a formulação do algoritmo SIMPLE para o regime permanente.

Arbitrando-se um valor  $p^*$  para o campo de pressões e admitindo que os fluxos de massa  $F_x = \rho u$  e  $F_y = \rho v$  através das faces dos VC tenham sido calculados a partir de uma estimativa para o campo de velocidades (Versteeg e Malalasekera, 2007), as componentes intermediárias  $u^*$  e  $v^*$  da velocidade podem ser obtidas resolvendo as equações discretas do movimento, tais que:

$$a_e u_e^* = \sum a_{nb} u_{nb}^* + (p_P^* - p_E^*)A_e + b_e \quad (8)$$

$$a_n v_n^* = \sum a_{nb} v_{nb}^* + (p_P^* - p_N^*)A_n + b_n \quad (9)$$

Definindo-se a correção para a pressão,  $p'$ , como a diferença entre o valor correto da pressão  $p$  e do valor estimado  $p^*$ , e definindo-se correções análogas para as componentes da velocidade, pode-se escrever:

$$p = p^* + p', \quad u = u^* + u', \quad e \quad v = v^* + v'. \quad (10)$$

A substituição do campo de pressões correto nas equações (5) e (6) levam ao cálculo das componentes  $u$  e  $v$  corretas dadas por:

$$a_e u_e = \sum a_{nb} u_{nb} + (p_P - p_E)A_e + b_e \quad (11)$$

e

$$a_n v_n = \sum a_{nb} v_{nb} + (p_P - p_N) A_n + b_n \quad (12)$$

Subtraindo a equação (11) da equação (8) e subtraindo a equação (12) da equação (9) fornece:

$$a_e u'_e = \sum a_{nb} u'_{nb} + (p'_P - p'_E) A_e \quad (13)$$

e

$$a_n v'_n = \sum a_{nb} v'_{nb} + (p'_P - p'_N) A_n \quad (14)$$

Neste momento, a principal aproximação do algoritmo SIMPLE é realizada e consiste em desprezar os termos sob os somatórios, permitindo escrever:

$$u'_e = d_e (p'_P - p'_E) \quad (15)$$

e

$$v'_n = d_n (p'_P - p'_N) \quad (16)$$

onde  $d_e = A_e/a_e$  e  $d_n = A_n/a_n$ . As equações (15) e (16) definem as expressões de correção para as componentes da velocidade que, empregadas na equação (10), fornece

$$u_e = u_e^* + d_e (p'_P - p'_E), \quad e \quad v_n = v_n^* + d_n (p'_P - p'_N) \quad (17)$$

No tratamento de escoamentos incompressíveis, a solução das equações de movimento ficam restritas à equação da continuidade (3). Integrando-se a equação da continuidade em um VC em torno do ponto  $P$  (Figura 1) e substituindo as componentes da velocidade pelas expressões dadas na equação (17), permite escrever:

$$a_P p'_P = a_E p'_E + a_W p'_W + a_N p'_N + a_S p'_S + b'_P \quad (18)$$

com os coeficientes dados por

$$\begin{aligned} a_E &= (\rho dA)_e \\ a_W &= (\rho dA)_w \\ a_N &= (\rho dA)_n \\ a_S &= (\rho dA)_s \\ a_P &= a_E + a_W + a_N + a_S \\ b'_P &= (\rho u^* A)_w - (\rho u^* A)_e + (\rho v^* A)_s - (\rho v^* A)_n \end{aligned} \quad (19)$$

A Equação (19) é a discretização da equação da continuidade escrita como uma equação para a correção da pressão  $p'$ . A solução desta equação fornece correções para a pressão em todos os pontos e são empregadas para atualizar tanto as pressões quanto as componentes da velocidade por meio das expressões (10) e (17).

Estas etapas fornecem todos os elementos para a formulação do algoritmo SIMPLE, cujas principais etapas são descritas a seguir.

- Repita até a convergência:

1 - Resolva as equações de movimento discretas, obtendo  $u^*$  e  $v^*$ :

$$\begin{aligned} a_e u_e^* &= \sum a_{nb} u_{nb}^* + (p_P^* - p_E^*) A_e + b_e \\ a_n v_n^* &= \sum a_{nb} v_{nb}^* + (p_P^* - p_N^*) A_n + b_n \end{aligned}$$

2 - Resolva a equação de correção da pressão, obtendo  $p'$ :

$$a_P p'_P = a_E p'_E + a_W p'_W + a_N p'_N + a_S p'_S + b'_P$$

3 - Corrija as pressões e velocidades, obtendo  $u$ ,  $v$  e  $p$ :

$$p = p^* + p' \quad u_e = u_e^* + d_e(p'_P - p'_E) \quad v_n = v_n^* + d_n(p'_P - p'_N)$$

4 - Resolva outras equações discretas, obtendo  $\phi$ :

$$a_P \phi_P = a_E \phi_E + a_W \phi_W + a_N \phi_N + a_S \phi_S + b_\phi$$

5 - Defina as estimativas para a próxima iteração:

$$p^* = p \quad u^* = u \quad v^* = v$$

No passo 4,  $\phi$  representa qualquer outra variável escalar como, por exemplo, a temperatura (Odone et al., 2013, 2015; Versteeg e Malalasekera, 2007).

### 3 MÉTODO DE VARIAÇÃO DO FATOR DE RELAXAÇÃO

O algoritmo SIMPLE tal como apresentado na seção anterior é suscetível à divergência devido as não-linearidades e o acoplamento do campo de pressões e velocidade com a equação da continuidade. Assim, fatores de relaxação devem ser empregados para garantir a estabilidade e convergência do algoritmo.

#### 3.1 Introdução dos fatores de relaxação

Fatores de relaxação são frequentemente adotados tanto para a correção da pressão quanto para o cálculo das componentes da velocidade. Usualmente, um mesmo valor é usado para os fatores de relaxação de ambas as componentes  $u$  e  $v$  da velocidade. Representando o fator de relaxação da pressão por  $\alpha_p$  e das componentes da velocidade por  $\alpha_v$ , de acordo com Moukalled et al. (2016) e Min e Tao (2007) seus valores podem ser tais que

$$\alpha_v + \alpha_p = 1 \quad (20)$$

O fator de relaxação para a pressão pode ser introduzido diretamente na expressão de correção da pressão dada em (10), reescrevendo como:

$$p = p^* + \alpha_p p' \quad (21)$$

Se uma dada estimativa para o campo de pressões  $p^*$  é muito distante da solução final  $p$  então as correções  $p'$  podem ser muito grandes para garantir estabilidade dos cálculos, sendo necessário empregar apenas uma parcela da correção calculada (Versteeg e Malalasekera, 2007).

De acordo com Patankar (1980), a partir das equações do movimento, (5) e (6), pode-se escrever:

$$u_e = \frac{\sum a_{nb} u_{nb} + (p_P - p_E) A_e + b_e}{a_e} \quad (22)$$

$$v_n = \frac{\sum a_{nb} v_{nb} + (p_P - p_N) A_n + b_n}{a_n} \quad (23)$$

Denotando os valores obtidos da iteração anterior por  $u^{(n-1)}$  e  $v^{(n-1)}$ , pode-se adicionar e subtrair  $u_e^{(n-1)}$  e  $v_n^{(n-1)}$  em suas respectivas equações (22) e (23), obtendo

$$u_e = u_e^{(n-1)} + \left( \frac{\sum a_{nb}u_{nb} + (p_P - p_E)A_e + b_e}{a_e} - u_e^{(n-1)} \right) \quad (24)$$

$$v_n = v_n^{(n-1)} + \left( \frac{\sum a_{nb}v_{nb} + (p_P - p_N)A_n + b_n}{a_n} - v_n^{(n-1)} \right) \quad (25)$$

O conteúdo entre parenteses nas equações (24) e (25) representa as variações em  $u_e$  e  $v_n$  obtidas na iteração atual. Esta variação pode ser modificada introduzindo-se o fator de relaxação  $\alpha_v$ , obtendo:

$$u_e = u_e^{(n-1)} + \alpha_v \left( \frac{\sum a_{nb}u_{nb} + (p_P - p_E)A_e + b_e}{a_e} - u_e^{(n-1)} \right) \quad (26)$$

$$v_n = v_n^{(n-1)} + \alpha_v \left( \frac{\sum a_{nb}v_{nb} + (p_P - p_N)A_n + b_n}{a_n} - v_n^{(n-1)} \right) \quad (27)$$

ou ainda

$$\frac{a_e}{\alpha_v} u_e = \sum a_{nb}u_{nb} + (p_P - p_E)A_e + b_e + (1 - \alpha_v) \frac{a_e}{\alpha_v} u_e^{(n-1)} \quad (28)$$

$$\frac{a_n}{\alpha_v} v_n = \sum a_{nb}v_{nb} + (p_P - p_N)A_n + b_n + (1 - \alpha_v) \frac{a_n}{\alpha_v} v_n^{(n-1)} \quad (29)$$

Ainda, de acordo com as equações (28) e (29), pode-se mostrar que a equação de correção da pressão é modificada pelo fator de relaxação da velocidade nos termos  $d_e = A_e/a_e$  e  $d_n = A_n/a_n$  da seguinte forma (Versteeg e Malalasekera, 2007):

$$d_e = \frac{A_e \alpha_v}{a_e} \quad \text{e} \quad d_n = \frac{A_n \alpha_v}{a_n} \quad (30)$$

Assim, para efetividade do algoritmo SIMPLE apresentado na seção 2.3, as equações do movimento devem ser resolvidas com os fatores de relaxação embutidos como mostrado nas equações (28) e (29), a equação de correção da pressão deve ser resolvida empregando as expressões dadas em (30) e a correção da pressão deve ser realizada por meio da equação (21).

### 3.2 Método para o cálculo do fator de relaxação

A utilização de fatores de relaxação durante o processo iterativo do algoritmo SIMPLE permanece uma questão em aberto uma vez que valores ótimos que acelerem a convergência dependem de cada problema a ser resolvido (Versteeg e Malalasekera, 2007) e valores fixos podem não ser ideais para todas as iterações.

Alguns métodos visando a otimização dos fatores de relaxação podem ser encontrados em Marek e Straub (1993), Chatwani e Turan (1991), Morii e Vierow (2000), Ryoo et al. (2005), Min e Tao (2007) e suas respectivas referências. Neste trabalho, um método de otimização dos fatores de relaxação para as equações do movimento baseado em Min e Tao (2007) é estudado.

Denotando-se as normas dos resíduos por  $N_u$  e  $N_v$  para as suas respectivas equações do movimento (equações (5) e (6)), tem-se:

$$N_u = \frac{(\sum_{nos} (a_e u_e - \sum a_{nb} u_{nb} - (p_P - p_E) A_e - b_e)^2)^{1/2}}{\rho u_{ref}^2} \quad (31)$$

$$N_v = \frac{(\sum_{nos} (a_n v_n - \sum a_{nb} v_{nb} - (p_P - p_N) A_n - b_n)^2)^{1/2}}{\rho v_{ref}^2} \quad (32)$$

de modo que um critério de parada usual para o processo iterativo é

$$\max(N_u, N_v) \leq \epsilon \quad (33)$$

onde  $\epsilon$  é uma tolerância estabelecida (Min e Tao, 2007; Chatwani e Turan, 1991). Propõe-se aqui e é usado como critério de parada e verificação de convergência que o valor máximo da norma da diferença entre as componentes da velocidade calculadas no passo de iteração atual e as componentes da velocidade calculadas no passo de iteração anterior sejam menores que uma dada tolerância. Ou seja,

$$N_u^{dif} = \max(|u_e - u_e^{(n-1)}|) \leq \epsilon \quad \text{e} \quad N_v^{dif} = \max(|v_n - v_n^{(n-1)}|) \leq \epsilon \quad (34)$$

Dadas as normas definidas pelas expressões (31), (32) e (34), define-se a razão entre  $N_v$  e  $N_u$  e entre  $N_v^{dif}$  e  $N_u^{dif}$  respectivamente por

$$\beta = \frac{N_v}{N_u} \quad \text{e} \quad \beta^{dif} = \frac{N_v^{dif}}{N_u^{dif}} \quad (35)$$

A ideia do método é baseada no fato de que se as normas de cada uma das equações do movimento forem aproximadamente iguais, a convergência do processo iterativo será acelerada, de acordo com (Min e Tao, 2007). Ou seja, pelas expressões dadas em (35), as normas serão aproximadamente iguais quando

$$\beta \approx 1 \quad \text{e} \quad \beta^{dif} \approx 1 \quad (36)$$

No que segue, por simplicidade, a razão entre as normas será denotada simplesmente por  $\beta$ , representando qualquer uma das duas expressões dadas em (35). O algoritmo de cálculo para o novo fator de relaxação é descrito como segue.

Baseado nos fatores de relaxação calculados pelo algoritmo em uma iteração anterior ou na estimativa inicial ( $\alpha_v = 0.6$  e  $\alpha_p = 0.4$  são os valores iniciais empregados neste trabalho), o valor de  $\beta$  é calculado. O novo valor do fator de relaxação da velocidade é calculado em função do valor de  $\beta$  e da variável *flag* por uma das seguintes expressões:

$$\alpha_v = (\alpha_0)^{\beta^\gamma}, \quad \text{se} \quad \beta \leq 1 \quad \text{e se} \quad flag = 0 \quad (37)$$

$$\alpha_v = (\alpha_0)^{(1/\beta)^\gamma}, \quad \text{se} \quad \beta \leq 1 \quad \text{e se} \quad flag = 1 \quad (38)$$

$$\alpha_v = (\alpha_0)^{\beta^\gamma}, \quad \text{se} \quad \beta > 1 \quad \text{e se} \quad flag = 1 \quad (39)$$

$$\alpha_v = (\alpha_0)^{(1/\beta)^\gamma}, \quad \text{se} \quad \beta > 1 \quad \text{e se} \quad flag = 0 \quad (40)$$

Nas expressões (37) a (40), *flag* é uma variável que indica se o novo valor do fator de relaxação da velocidade calculado é maior (*flag* = 1) ou menor (*flag* = 0) que o fator de relaxação anterior. Caso o valor do fator de relaxação calculado por uma dessas expressões seja superior ao valor limite dado ( $\alpha_{lim} = 0.98$  neste trabalho), a expressão alternativa é imediatamente



empregada para atualizar este valor. Por exemplo, se o valor calculado por  $\alpha_v = (\alpha_0)^{\beta\gamma}$  for maior que  $\alpha_{lim}$ , então a expressão  $\alpha_v = (\alpha_0)^{(1/\beta)\gamma}$  é usada. O valor do fator de relaxação para a correção da pressão é calculado por

$$\alpha_p = 1 - \alpha_v \quad (41)$$

usando-se o fator de relaxação da velocidade recém calculado

Ainda com relação as expressões (37) a (40), o valor  $\gamma$ , sempre positivo, é usado para modificar o valor do expoente nas duas relações e suavizar a variação do fator de relaxação entre dois passos de iterações onde é calculado. Deve-se observar que variar os fatores de relaxação a cada iteração pode ser algo custoso e até mesmo ineficiente. Assim o algoritmo descrito pode ser empregado a cada iteração ou a cada  $n$  iterações a partir de um dado número de iterações iniciais.

## 4 TESTES NUMÉRICOS

Nesta seção apresenta-se alguns testes numéricos preliminares implementando o método de cálculo dos fatores de relaxação descrito nas seções anteriores. Os exemplos numéricos apresentados foram implementados e executados usando-se a linguagem Python. O objetivo é ilustrar que o método descrito neste trabalho pode reduzir o número de iterações do algoritmo SIMPLE e, conseqüentemente, o tempo de execução da solução do problema para determinados pares de parâmetros  $\gamma$  e  $n$ . Os problemas implementados são os de circulação, convecção natural e de circulação com fluxos de entrada e saída. Todos os problemas apresentados foram executados para malhas de  $20 \times 20$ ,  $30 \times 30$  e  $40 \times 40$  volumes de controle, número de Reynolds ( $Re$ ) igual a 100, 1000 e 2000, valores iniciais  $\alpha_v = 0.6$  e  $\alpha_p = 0.4$  para os fatores de relaxação e usando como critério de parada a norma da diferença (expressões em (34)), descritas anteriormente. Os tempos de execução apresentados são relativos ao tempo de execução com os fatores de relaxação fixos.

### 4.1 Problema de circulação

A Figura 2 ilustra a solução para o problema de circulação com a malha de  $20 \times 20$  VCs.

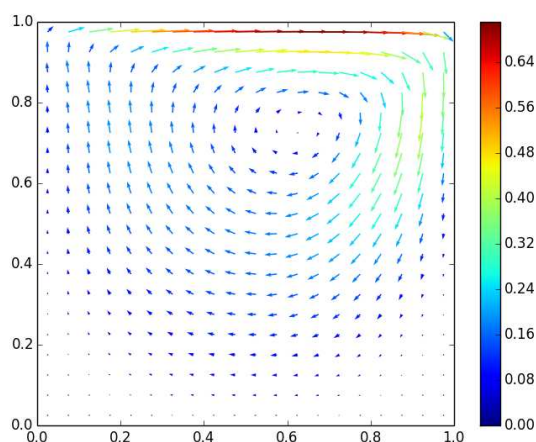


Figura 2: Campo de velocidades do problema de circulação (em  $m/s$ )

As Tabelas 1, 2 e 3 apresentam o tempo de execução para um conjunto de dados  $\gamma$  e  $n$  nas malhas  $20 \times 20$ ,  $30 \times 30$  e  $40 \times 40$ , respectivamente, para  $Re = 100$ .

	$n = 1$	$n = 2$	$n = 3$	$n = 5$	$n = 8$	$n = 10$
$\gamma = 0.5$	0.9543	0.8183	0.8176	0.9728	0.9441	0.9861
$\gamma = 0.8$	0.9190	0.7045	0.7171	0.8630	0.8570	0.9521
$\gamma = 1.0$	0.8874	0.6273	0.6686	0.8144	0.8133	0.9089
$\gamma = 1.2$	0.8250	0.6154	0.6340	0.7538	0.7304	0.8516
$\gamma = 1.5$	0.7845	0.5263	0.5375	0.6641	0.7141	0.8010
$\gamma = 2.5$	0.7916	0.3927	0.5889	0.5233	0.6450	0.7844

Tabela 1: Tempo de execução na malha  $20 \times 20$ ,  $Re = 100$

	$n = 1$	$n = 2$	$n = 3$	$n = 5$	$n = 8$	$n = 10$
$\gamma = 0.5$	0.8551	0.7651	0.7179	0.7935	0.7484	0.7739
$\gamma = 0.8$	0.7496	0.5534	0.5994	0.6896	0.6951	0.7316
$\gamma = 1.0$	0.7467	0.5183	0.5451	0.6720	0.6603	0.6956
$\gamma = 1.2$	0.7519	0.4881	0.4804	0.6480	0.6362	0.6583
$\gamma = 1.5$	0.7966	0.4331	0.4368	0.5791	0.5957	0.6010
$\gamma = 2.5$	0.8634	0.2418	0.2437	0.4244	0.3984	0.4298

Tabela 2: Tempo de execução na malha  $30 \times 30$ ,  $Re = 100$

	$n = 1$	$n = 2$	$n = 3$	$n = 5$	$n = 8$	$n = 10$
$\gamma = 0.5$	0.8427	0.7267	0.7978	0.8309	0.8281	0.8656
$\gamma = 0.8$	0.8460	0.6169	0.6938	0.7928	0.7729	0.8429
$\gamma = 1.0$	0.8688	0.6229	0.6271	0.6720	0.7329	0.7452
$\gamma = 1.2$	0.8702	0.5608	0.5699	0.6970	0.6734	0.6844
$\gamma = 1.5$	0.9258	0.5025	0.4799	0.6090	0.5974	0.6202
$\gamma = 2.5$	1.1978	0.2856	0.2883	0.4422	0.4176	0.4545

Tabela 3: Tempo de execução na malha  $40 \times 40$ ,  $Re = 100$

O número de iterações com os parâmetros de relaxação fixos nas malhas  $20 \times 20$ ,  $30 \times 30$  e  $40 \times 40$  foram, respectivamente, 106, 191, e 286. Observa-se que nos três casos foi possível obter redução no tempo de execução para quase todos pares de parâmetros  $\gamma$  e  $n$ , sendo as maiores reduções de tempo em cada caso de: 60.72% na malha  $20 \times 20$  ( $\gamma = 2.5$  e  $n = 2$  - redução de 106 para 32 iterações), 75.81% na malha  $30 \times 30$  ( $\gamma = 2.5$  e  $n = 2$  - redução de 191 para 47 iterações) e 71.43% na malha  $40 \times 40$  ( $\gamma = 2.5$  e  $n = 2$  - redução de 286 para 79 iterações).

As Figuras 3, 4 e 5 ilustram a variação do fator de relaxação da velocidade e do valor de  $\beta$  ao longo das iterações para os melhores casos obtidos em cada uma das três malhas.

As Tabelas 4 e 5 exibem os tempos de execução para o problema na malha  $30 \times 30$  com  $Re = 1000$  e  $Re = 2000$  respectivamente. Pode-se observar que neste caso, com número de Reynolds de alto valor, o método ainda é capaz de reduzir o tempo de execução e o número de iterações, sendo os melhores casos de redução do tempo de 42.40% ( $\gamma = 2.5$  e  $n = 10$  -

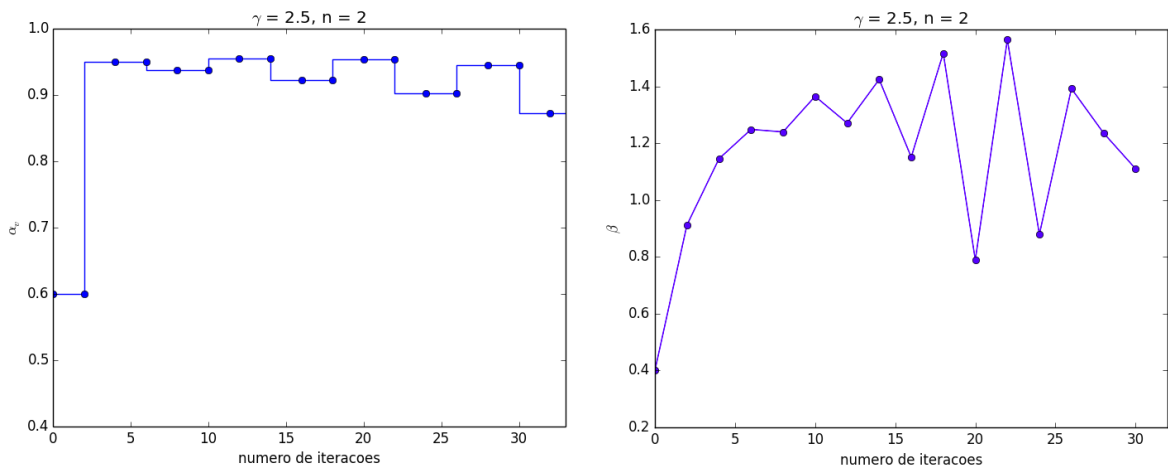


Figura 3: Malha  $20 \times 20$ ,  $\alpha_v$  e  $\beta$  ao longo das iterações

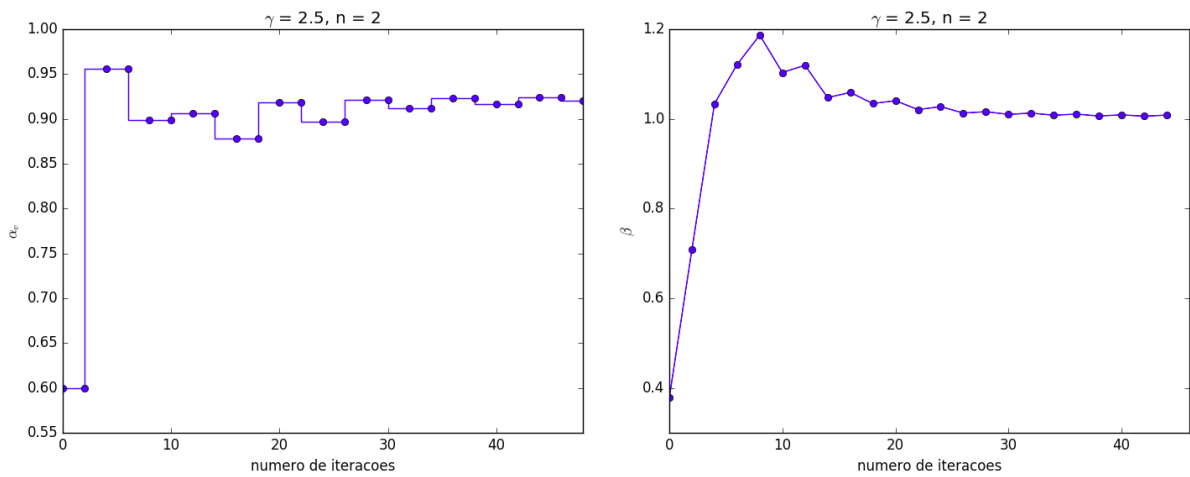


Figura 4: Malha  $30 \times 30$ ,  $\alpha_v$  e  $\beta$  ao longo das iterações

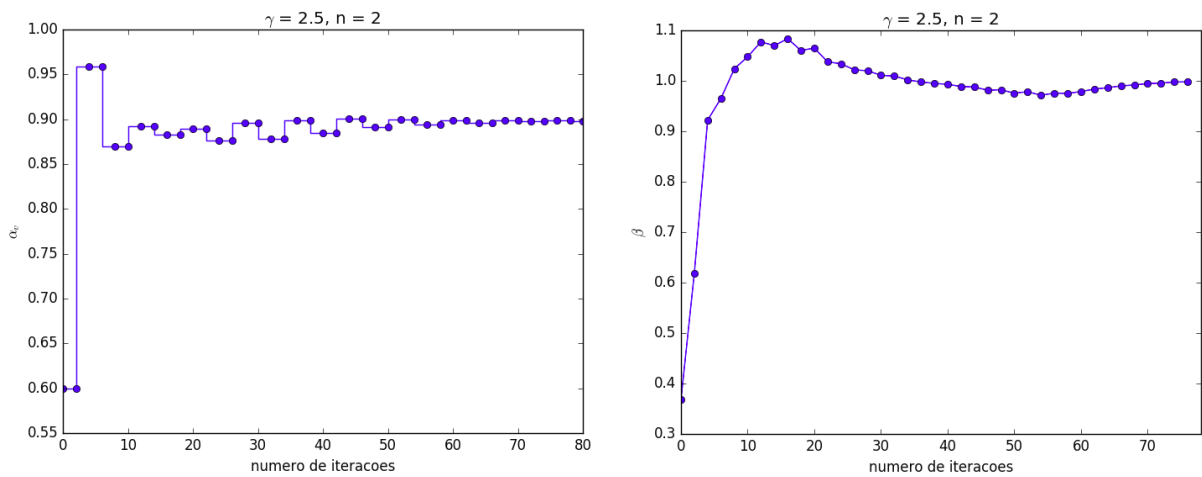


Figura 5: Malha  $40 \times 40$ ,  $\alpha_v$  e  $\beta$  ao longo das iterações

redução de 139 para 67 iterações) para  $Re = 1000$  e de 54.00% ( $\gamma = 1.5$  e  $n = 1$  - redução de 135 para 61 iterações) para  $Re = 2000$ .

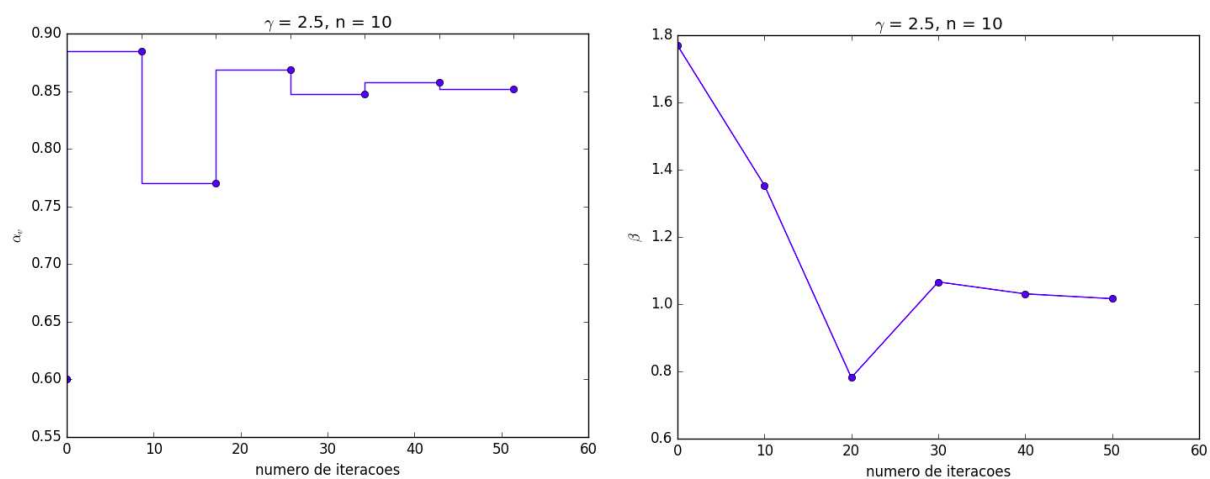
	$n = 1$	$n = 2$	$n = 3$	$n = 5$	$n = 8$	$n = 10$
$\gamma = 0.5$	0.7768	0.8111	0.8776	0.9921	0.8584	0.8371
$\gamma = 0.8$	0.7410	0.8081	0.8643	1.0423	0.8815	0.8487
$\gamma = 1.0$	0.7826	0.8233	0.8454	1.0522	0.8300	0.7546
$\gamma = 1.2$	0.6717	0.8118	0.7794	1.0751	0.7780	0.7390
$\gamma = 1.5$	0.6698	0.7703	0.7332	1.1231	0.7441	0.6280
$\gamma = 2.5$	1.1315	0.8849	0.7202	0.9328	0.7058	0.5759

Tabela 4: Tempo de execução na malha  $30 \times 30$ ,  $Re = 1000$ 

	$n = 1$	$n = 2$	$n = 3$	$n = 5$	$n = 8$	$n = 10$
$\gamma = 0.5$	0.7990	0.9098	0.9654	1.0340	0.8774	0.8344
$\gamma = 0.8$	0.7208	0.8798	0.9506	1.0521	0.8645	0.7533
$\gamma = 1.0$	0.6817	0.7965	0.9646	1.3680	1.0571	0.6750
$\gamma = 1.2$	0.7042	0.8559	0.9188	1.0645	0.7241	0.6106
$\gamma = 1.5$	0.4599	0.7336	0.8095	1.0086	0.7481	0.6156
$\gamma = 2.5$	0.7286	0.7450	0.8962	1.0287	0.8068	0.6359

Tabela 5: Tempo de execução na malha  $30 \times 30$ ,  $Re = 2000$ 

As Figuras 6 e 7 exibem a variação do fator de relaxação da velocidade e do valor de  $\beta$  ao longo das iterações para os melhores casos obtidos para  $Re = 1000$  e  $Re = 2000$  respectivamente.

Figura 6: Valores de  $\alpha_v$  e  $\beta$  ao longo das iterações para  $Re = 1000$

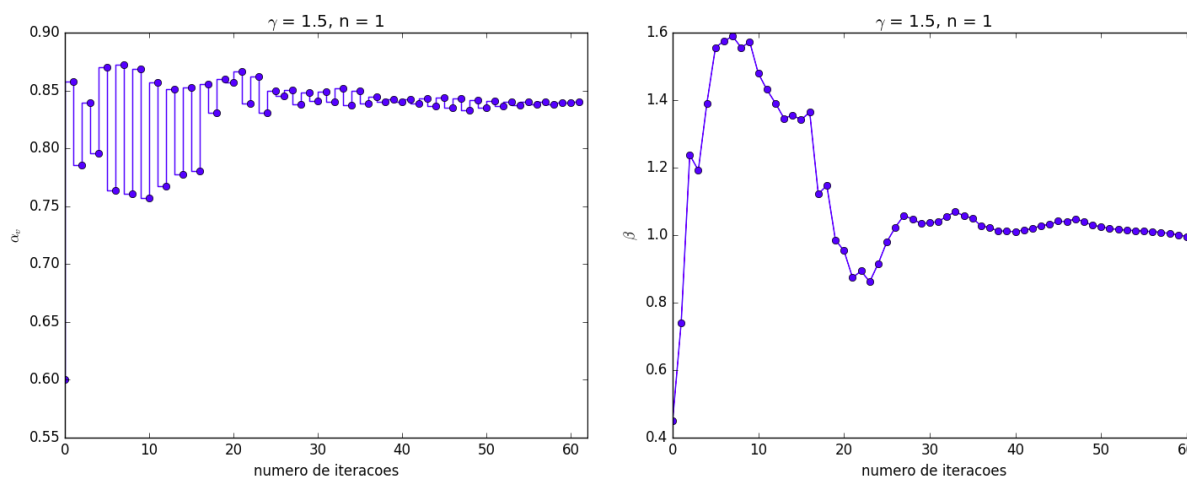


Figura 7: Valores de  $\alpha_v$  e  $\beta$  ao longo das iterações para  $Re = 2000$

## 4.2 Problema de convecção natural

A Figura 8 ilustra a solução para o problema de convecção natural com a malha de  $20 \times 20$  VCs. As Tabelas 6, 7 e 8 apresentam o tempo de execução para um conjunto de dados  $\gamma$  e  $n$  nas

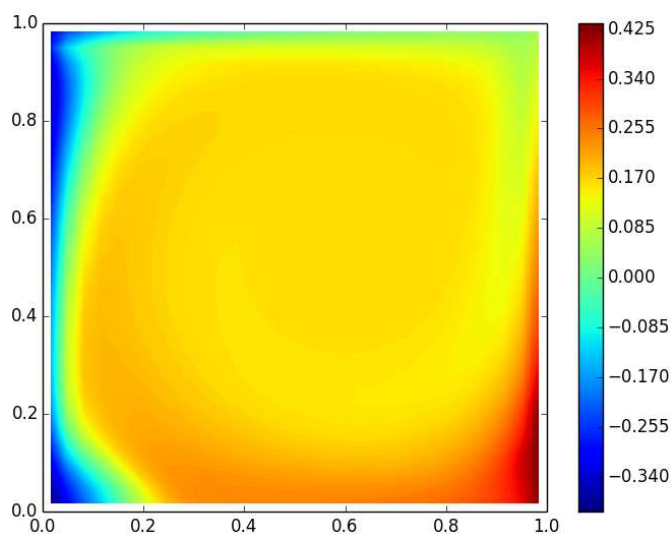


Figura 8: Campo de temperaturas para o problema de convecção natural (em  $^{\circ}\text{C}$ )

malhas  $20 \times 20$ ,  $30 \times 30$  e  $40 \times 40$ , respectivamente, para  $Re = 100$ .

O número de iterações com os parâmetros de relaxação fixos nas malhas  $20 \times 20$ ,  $30 \times 30$  e  $40 \times 40$  foram, respectivamente, 160, 305, e 484. Observa-se que nos três casos foi possível obter redução no tempo de execução para quase todos pares de parâmetros  $\gamma$  e  $n$ , sendo as maiores reduções de tempo em cada caso de: 54.27% na malha  $20 \times 20$  ( $\gamma = 1.5$  e  $n = 2$  - redução de 160 para 67 iterações), 77.71% na malha  $30 \times 30$  ( $\gamma = 2.5$  e  $n = 3$  - redução de 305 para 62 iterações) e 76.00% na malha  $40 \times 40$  ( $\gamma = 2.5$  e  $n = 3$  - redução de 484 para 113 iterações). As Figuras 9, 10 e 11 ilustram a variação do fator de relaxação da velocidade e do valor de  $\beta$  ao longo das iterações para os melhores casos em cada uma das três malhas.

As Tabelas 9 e 10 ilustram os tempos de execução para o problema na malha  $30 \times 30$  com  $Re = 1000$  e  $Re = 2000$  respectivamente. Novamente, com número de Reynolds de alto valor, o método é capaz de reduzir o tempo de execução e o número de iterações, sendo os melhores

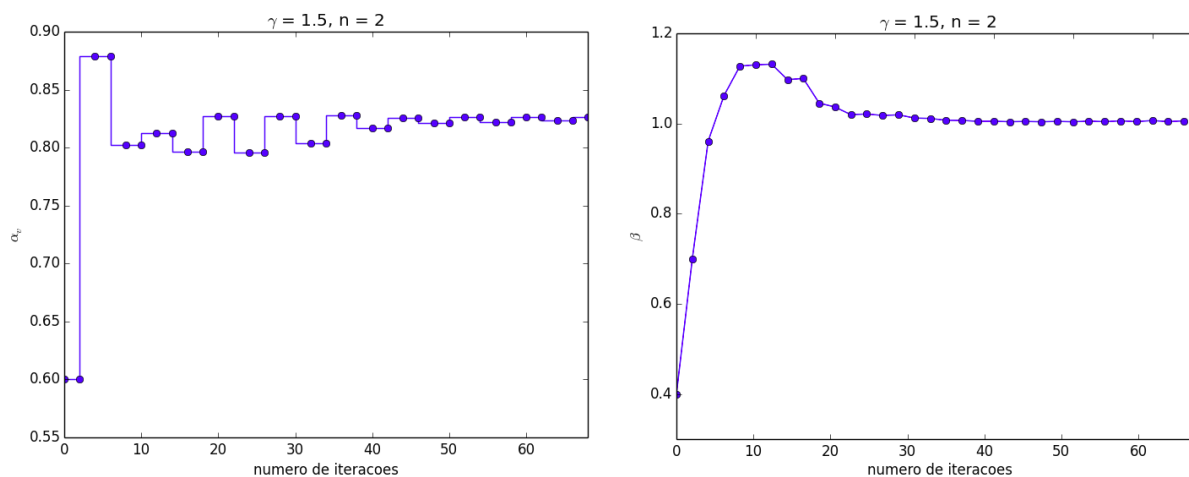
	$n = 1$	$n = 2$	$n = 3$	$n = 5$	$n = 8$	$n = 10$
$\gamma = 0.5$	0.9022	0.7655	0.8000	0.8681	0.8812	0.9032
$\gamma = 0.8$	0.8726	0.6917	0.6590	0.7879	0.7734	0.8452
$\gamma = 1.0$	0.8018	0.5545	0.6012	0.7553	0.7197	0.8208
$\gamma = 1.2$	0.8007	0.5227	0.5483	0.6815	0.7051	0.8331
$\gamma = 1.5$	0.7665	0.4572	0.4765	0.7074	0.6997	0.8019
$\gamma = 2.5$	0.7820	0.4968	0.4696	0.4585	0.6190	0.7491

Tabela 6: Tempo de execução na malha  $20 \times 20$ ,  $Re = 100$ 

	$n = 1$	$n = 2$	$n = 3$	$n = 5$	$n = 8$	$n = 10$
$\gamma = 0.5$	0.9170	0.7275	0.7247	0.8071	0.8081	0.8781
$\gamma = 0.8$	0.8491	0.5954	0.6591	0.7408	0.7744	0.8366
$\gamma = 1.0$	0.8356	0.5454	0.5680	0.7309	0.7154	0.7457
$\gamma = 1.2$	0.8348	0.4943	0.4955	0.6940	0.6775	0.6988
$\gamma = 1.5$	0.9136	0.4391	0.4501	0.6083	0.6256	0.6239
$\gamma = 2.5$	1.0205	0.2232	0.2228	0.4315	0.3925	0.4271

Tabela 7: Tempo de execução na malha  $30 \times 30$ ,  $Re = 100$ 

	$n = 1$	$n = 2$	$n = 3$	$n = 5$	$n = 8$	$n = 10$
$\gamma = 0.5$	0.9204	0.7531	0.7600	0.8022	0.8083	0.8247
$\gamma = 0.8$	0.8897	0.5969	0.6669	0.7853	0.7464	0.7653
$\gamma = 1.0$	0.8682	0.5799	0.5996	0.7160	0.6893	0.7033
$\gamma = 1.2$	0.8947	0.5139	0.5033	0.6414	0.6398	0.6442
$\gamma = 1.5$	1.0213	0.4612	0.4364	0.5685	0.5528	0.5778
$\gamma = 2.5$	1.0902	0.2426	0.2399	0.3864	0.3729	0.4176

Tabela 8: Tempo de execução na malha  $40 \times 40$ ,  $Re = 100$ Figura 9: Malha  $20 \times 20$ ,  $\alpha_v$  e  $\beta$  ao longo das iterações

casos de redução do tempo de 52.65% ( $\gamma = 1.0$  e  $n = 2$  - redução de 126 para 51 iterações) para  $Re = 1000$  e de 54.80% ( $\gamma = 1.2$  e  $n = 5$  - redução de 134 para 57 iterações) para  $Re = 2000$ . As Figuras 12 e 13 exibem a variação do fator de relaxação da velocidade e do

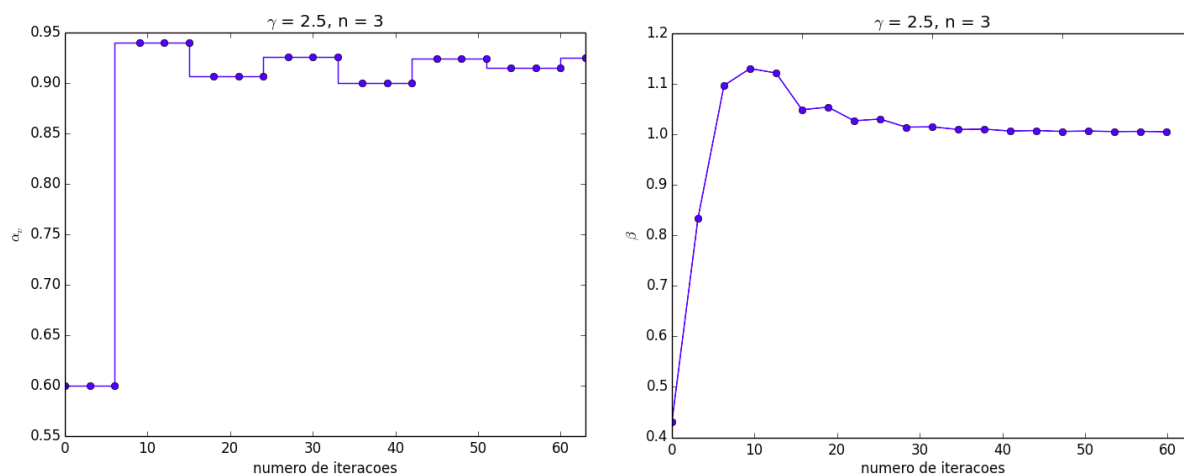


Figura 10: Malha  $30 \times 30$ ,  $\alpha_v$  e  $\beta$  ao longo das iterações

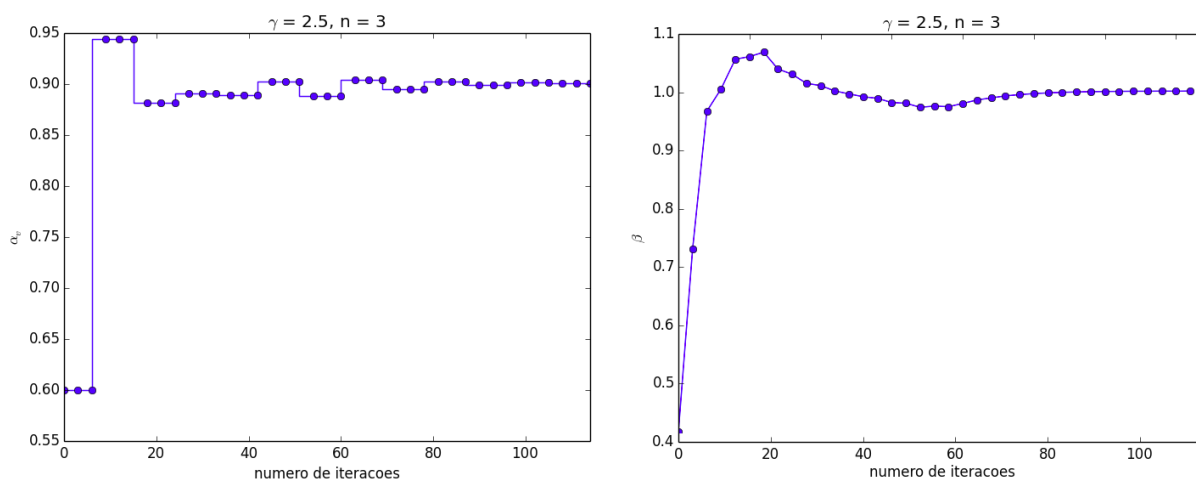


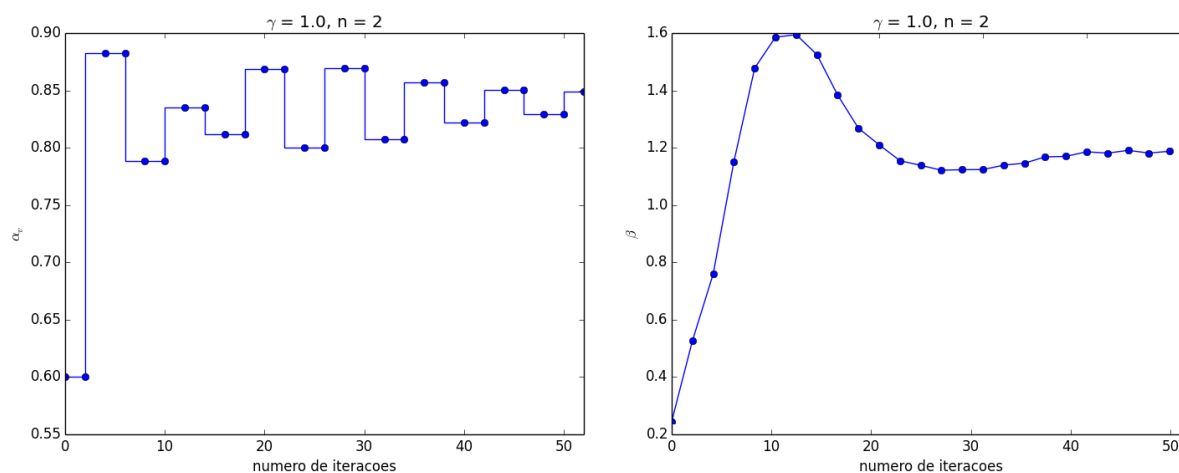
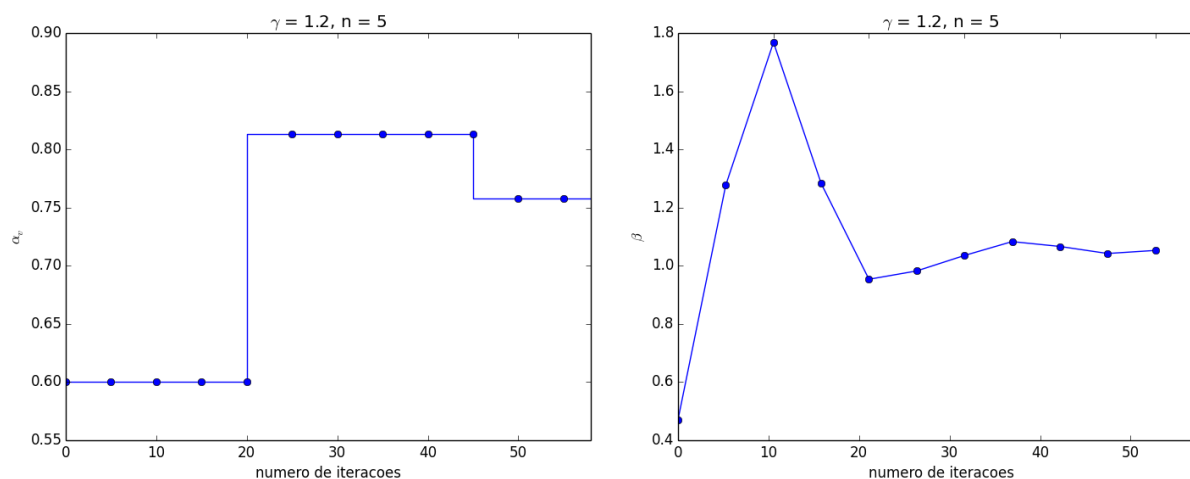
Figura 11: Malha  $40 \times 40$ ,  $\alpha_v$  e  $\beta$  ao longo das iterações

	$n = 1$	$n = 2$	$n = 3$	$n = 5$	$n = 8$	$n = 10$
$\gamma = 0.5$	0.7510	0.6683	0.7370	0.6153	0.9272	1.0611
$\gamma = 0.8$	0.6342	0.5215	0.5610	0.5477	0.9131	1.0961
$\gamma = 1.0$	0.5610	0.4734	0.5088	0.4914	0.8942	1.1125
$\gamma = 1.2$	0.5297	0.5916	0.4985	0.4873	0.88246	1.1401
$\gamma = 1.5$	0.4879	0.7046	0.4981	0.6135	0.8732	1.1900
$\gamma = 2.5$	1.6696	1.1913	1.2354	1.6670	1.0799	0.8765

Tabela 9: Tempo de execução na malha  $30 \times 30$ ,  $Re = 1000$

valor de  $\beta$  ao longo das iterações para os melhores casos obtidos para  $Re = 1000$  e  $Re = 2000$  respectivamente.

	$n = 1$	$n = 2$	$n = 3$	$n = 5$	$n = 8$	$n = 10$
$\gamma = 0.5$	0.7137	0.6559	0.6659	0.6381	1.0052	1.0768
$\gamma = 0.8$	0.5623	0.5874	0.5191	0.5886	1.0831	1.1457
$\gamma = 1.0$	0.5521	0.4807	0.4742	0.4997	1.1592	1.1761
$\gamma = 1.2$	0.4930	0.4802	0.4761	0.4519	1.0449	1.3353
$\gamma = 1.5$	0.4881	0.7055	0.5306	0.6345	1.1418	1.4086
$\gamma = 2.5$	1.3578	1.1287	1.4580	1.6770	1.3271	0.8522

Tabela 10: Tempo de execução na malha  $30 \times 30$ ,  $Re = 2000$ Figura 12: Valores de  $\alpha_v$  e  $\beta$  ao longo das iterações para  $Re = 1000$ Figura 13: Valores de  $\alpha_v$  e  $\beta$  ao longo das iterações para  $Re = 2000$ 

### 4.3 Problema de circulação com fluxos de entrada e saída

A Figura 14 exibe a solução para o problema de circulação com fluxos de entrada e saída  $20 \times 20$  VCs. As Tabelas 11, 12 e 13 apresentam o tempo de execução para um conjunto de dados  $\gamma$  e  $n$  nas malhas  $20 \times 20$ ,  $30 \times 30$  e  $40 \times 40$ , respectivamente, para  $Re = 100$  e empregando o critério de parada pela norma da diferença das componentes da velocidade (equação (34)).

O número de iterações com os parâmetros de relaxação fixos nas malhas  $20 \times 20$ ,  $30 \times 30$  e  $40 \times 40$  foram, respectivamente, 84, 163, e 216. Observa-se que nos três casos foi possível obter



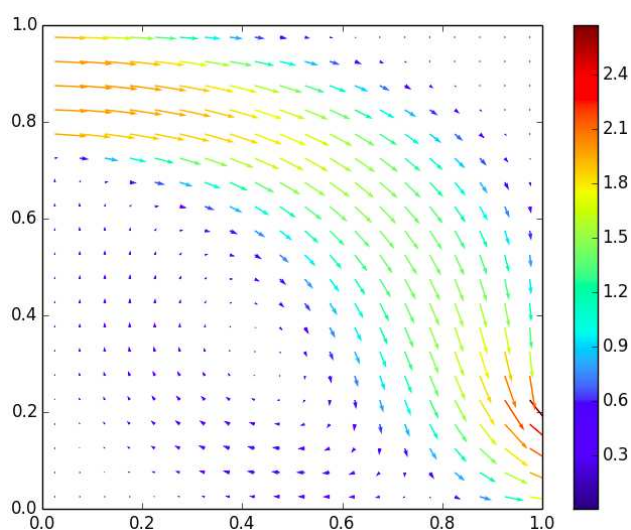


Figura 14: Campo de velocidade para o problema de circulação com fluxos de entrada e saída (em  $m/s$ )

redução no tempo de execução para quase todos pares de parâmetros  $\gamma$  e  $n$ , sendo as maiores reduções de tempo em cada caso de: 34.73% na malha  $20 \times 20$  ( $\gamma = 1.2$  e  $n = 3$  - redução de 84 para 47 iterações), 61.13% na malha  $30 \times 30$  ( $\gamma = 2.5$  e  $n = 2$  - redução de 163 para 51 iterações) e 62.60% na malha  $40 \times 40$  ( $\gamma = 2.5$  e  $n = 2$  - redução de 216 para 68 iterações).

	$n = 1$	$n = 2$	$n = 3$	$n = 5$	$n = 8$	$n = 10$
$\gamma = 0.5$	0.8055	0.8784	0.7498	0.8053	0.8253	0.8612
$\gamma = 0.8$	0.7301	0.7796	0.6917	0.7693	0.7850	0.7821
$\gamma = 1.0$	0.7093	0.6891	0.6712	0.6779	0.7615	0.7386
$\gamma = 1.2$	1.0751	0.6943	0.6526	0.6641	0.7656	0.7883
$\gamma = 1.5$	0.8629	0.6868	0.8375	0.6721	0.7198	0.7112
$\gamma = 2.5$	0.8091	0.6565	0.7476	0.7746	0.7558	0.9223

Tabela 11: Tempo de execução na malha  $20 \times 20$ ,  $Re = 100$

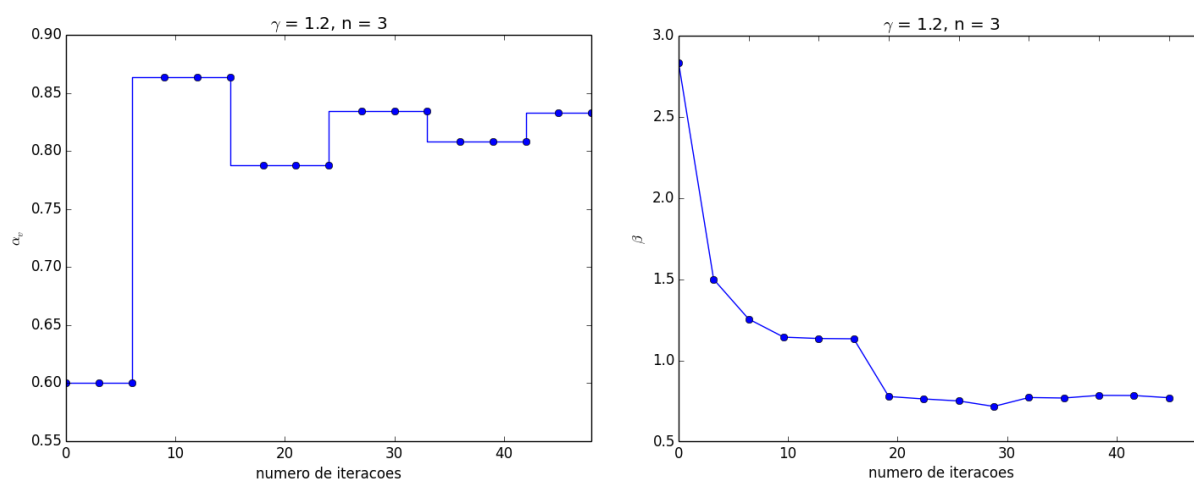
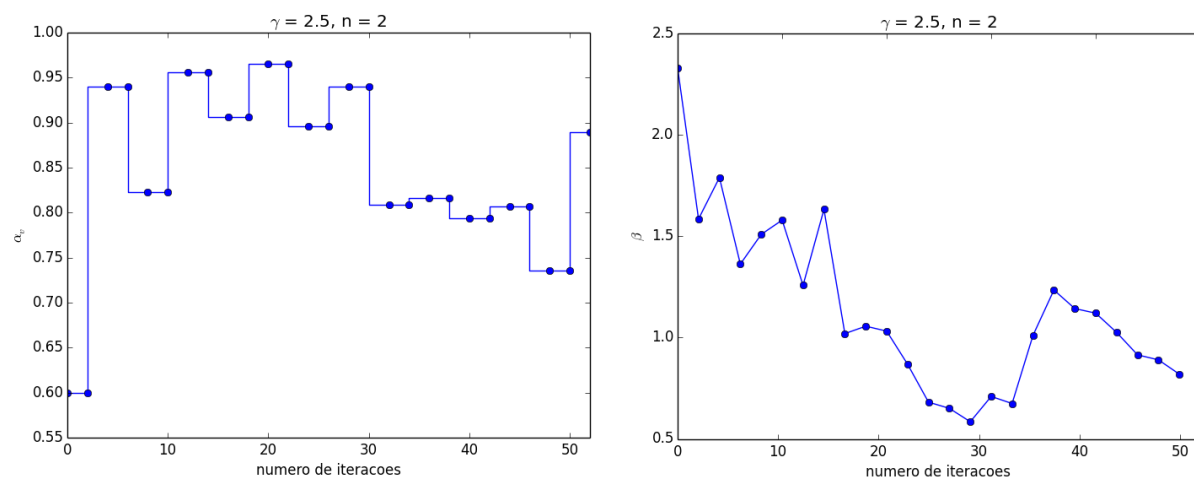
	$n = 1$	$n = 2$	$n = 3$	$n = 5$	$n = 8$	$n = 10$
$\gamma = 0.5$	0.8665	0.8113	0.7443	0.7856	0.7774	0.9049
$\gamma = 0.8$	0.6371	0.6503	0.6271	0.6683	0.8374	0.7850
$\gamma = 1.0$	0.6213	0.5363	0.5305	0.6303	0.7652	0.7962
$\gamma = 1.2$	0.4701	0.4895	0.4817	0.5882	0.6734	0.7641
$\gamma = 1.5$	0.7603	0.4194	0.4586	0.5497	0.6749	0.6960
$\gamma = 2.5$	0.6049	0.3886	0.5457	0.4362	0.6796	0.6274

Tabela 12: Tempo de execução na malha  $30 \times 30$ ,  $Re = 100$

As Figuras 15, 16 e 17 ilustram a variação do fator de relaxação da velocidade e do valor de  $\beta$  ao longo das iterações para os melhores casos em cada uma das três malhas.

As Tabelas 14 e 15 ilustram os tempos de execução para o problema na malha  $30 \times 30$  com  $Re = 1000$  e  $Re = 2000$  respectivamente. neste caso, com número de Reynolds de alto valor, o método ainda é capaz de reduzir o tempo de execução e o número de iterações, sendo os melhores casos de redução do tempo de 45.32% ( $\gamma = 2.5$  e  $n = 8$  - redução de 163 para 75

	$n = 1$	$n = 2$	$n = 3$	$n = 5$	$n = 8$	$n = 10$
$\gamma = 0.5$	0.7519	0.8175	0.6382	0.6669	0.8361	0.8305
$\gamma = 0.8$	0.6218	0.7891	0.5189	0.6124	0.7004	0.8164
$\gamma = 1.0$	0.5410	0.5984	0.4543	0.5018	0.7042	0.7819
$\gamma = 1.2$	0.4119	0.5095	0.5731	0.4994	0.6572	0.8026
$\gamma = 1.5$	0.3963	0.4515	0.4515	0.8566	0.4111	0.4751
$\gamma = 2.5$	0.7172	0.3739	0.4392	0.6973	0.3921	0.4073

Tabela 13: Tempo de execução na malha  $40 \times 40$ ,  $Re = 100$ Figura 15: Malha  $20 \times 20$ ,  $\alpha_v$  e  $\beta$  ao longo das iteraçõesFigura 16: Malha  $30 \times 30$ ,  $\alpha_v$  e  $\beta$  ao longo das iterações

iteraões) para  $Re = 1000$  e de 38.43% ( $\gamma = 1.0$  e  $n = 1$  - redução de 215 para 121 iteraões) para  $Re = 2000$ .

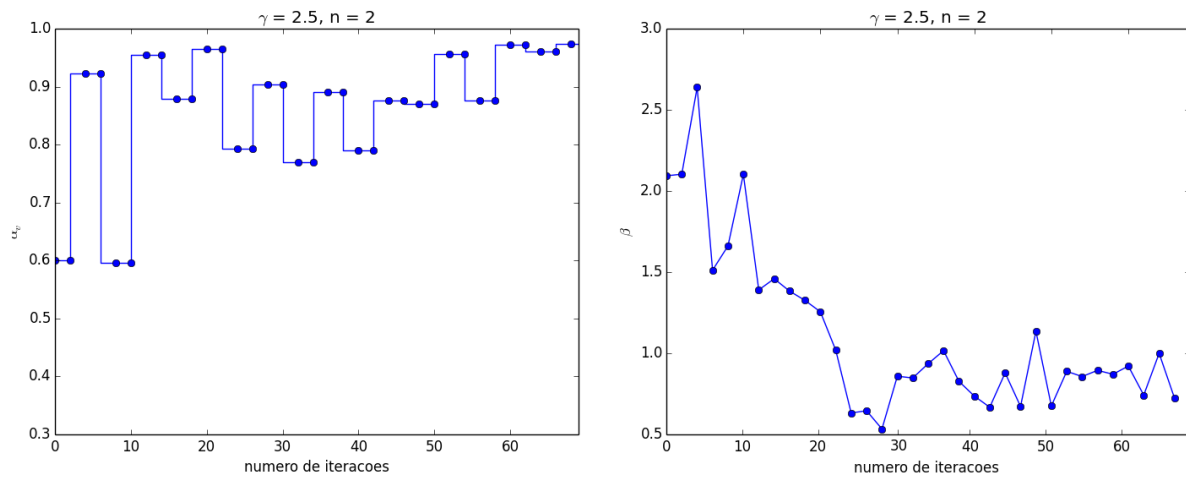


Figura 17: Malha  $40 \times 40$ ,  $\alpha_v$  e  $\beta$  ao longo das iterações

	$n = 1$	$n = 2$	$n = 3$	$n = 5$	$n = 8$	$n = 10$
$\gamma = 0.5$	1.0833	1.1447	1.3553	1.0124	0.8285	0.9710
$\gamma = 0.8$	0.9650	1.0588	0.9331	0.8129	0.7054	0.7194
$\gamma = 1.0$	1.0547	0.9225	0.8575	0.7985	0.6550	0.7192
$\gamma = 1.2$	1.0780	1.4400	0.9655	0.6800	0.7093	0.7182
$\gamma = 1.5$	1.4051	0.7816	1.1415	0.6800	0.7093	0.7182
$\gamma = 2.5$	1.4051	0.7816	1.3136	0.6532	0.5467	0.7061

Tabela 14: Tempo de execução na malha  $30 \times 30$ ,  $Re = 1000$

	$n = 1$	$n = 2$	$n = 3$	$n = 5$	$n = 8$	$n = 10$
$\gamma = 0.5$	0.7206	0.8956	0.7742	0.8866	0.9385	0.8246
$\gamma = 0.8$	0.9679	0.9208	0.8754	0.7662	0.8299	0.7662
$\gamma = 1.0$	0.6156	1.1545	1.3245	0.8801	0.8590	0.8457
$\gamma = 1.2$	1.1033	1.0644	1.0041	0.8957	0.8341	0.6736
$\gamma = 1.5$	0.6698	1.2462	0.8548	0.6851	0.9353	0.6499
$\gamma = 2.5$	0.6455	0.7442	0.7678	0.9074	0.6546	0.6911

Tabela 15: Tempo de execução na malha  $30 \times 30$ ,  $Re = 2000$

As Figuras 18 e 19 exibem a variação do fator de relaxação da velocidade e do valor de  $\beta$  ao longo das iterações para os melhores casos obtidos para  $Re = 1000$  e  $Re = 2000$  respectivamente.

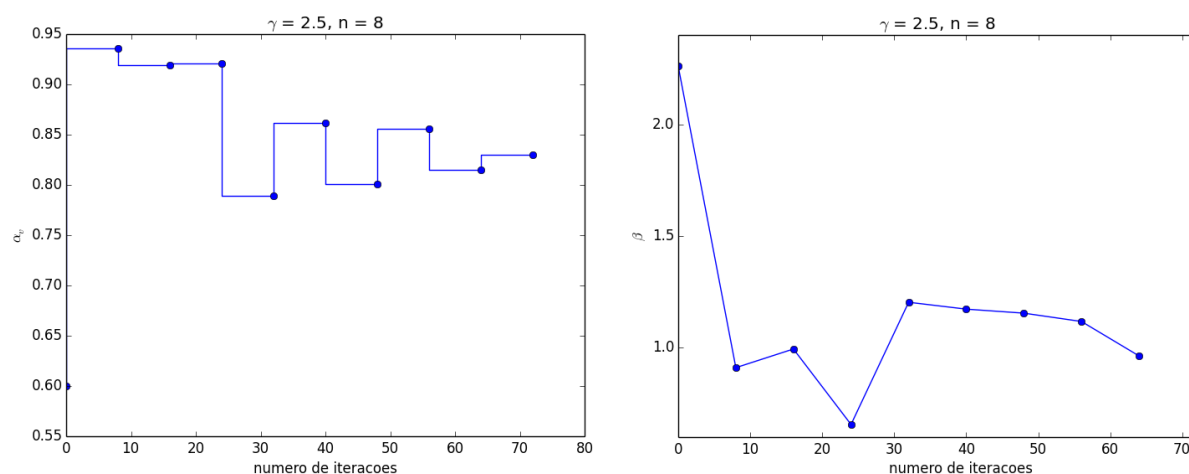


Figura 18: Valores de  $\alpha_v$  e  $\beta$  ao longo das iterações para  $Re = 1000$

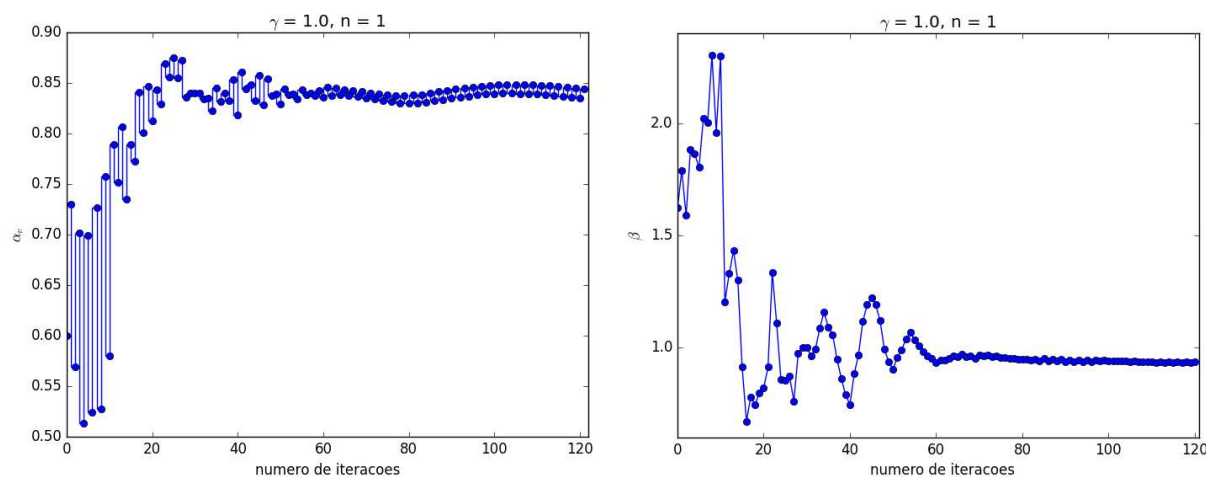


Figura 19: Valores de  $\alpha_v$  e  $\beta$  ao longo das iterações para  $Re = 2000$

## 5 CONCLUSÕES

Neste trabalho foi apresentado um método para cálculo de fatores de relaxação para as equações de movimento discretas empregadas no algoritmo SIMPLE. O método tem por objetivo calcular fatores de relaxação otimizados baseados na norma da diferença das velocidades obtidas entre dois níveis de iteração. O algoritmo de cálculo pode ser empregado a cada iteração consecutiva ou cada  $n$  iterações, sendo testados neste trabalho os valores para  $n$ : 1, 2, 3, 5, 8 e 10. O outro parâmetro usado no método,  $\gamma$ , visa controlar as variações dos fatores de relaxação calculados (Min e Tao, 2007). Os valores de  $\gamma$  testados foram: 0.5, 0.8, 1.0, 1.2, 1.5 e 2.5.

De acordo com os dados e resultados obtidos nos testes preliminares apresentados, pode-se observar que o objetivo primário de reduzir o tempo de execução e o número de iterações é alcançado de modo relativamente satisfatório. O método foi capaz de reduzir o tempo e o número de iterações tanto para problemas com números de Reynolds de baixa magnitude (100) quanto para valores mais elevados (1000 e 2000). A relação entre  $\gamma$  e  $n$  pode ser melhor estudada visando encontrar padrões de valores que possam ser aplicados diretamente aos problemas, embora, neste trabalho, os valores de  $\gamma \approx 2.5$  e  $1 < n < 5$  tenham se mostrado adequados para os problemas estudado com  $Re = 100$ . Para  $Re = 1000$  e  $Re = 2000$ , não foi possível obter um determinado padrão, mesmo que os testes tenham mostrado reduções de tempo e número

de iterações.

Os resultados aqui apresentados foram para três problemas incompressíveis (e térmicos) em regime permanente empregando o algoritmo SIMPLE para tratamento das não-linearidades e do acoplamento pressão velocidade. Como perspectiva de futuros trabalhos sobre este método pretende-se implementar o algoritmo de cálculo dos fatores de relaxação para problemas em regime transiente além de considerar o emprego de outros algoritmos iterativos como o SIMPLER e o SIMPLEC.

## REFERÊNCIAS

- Chatwani A.V. e Turan A. Technical note improved pressure-velocity coupling algorithm based on minimization of global residual norm. *Numerical Heat Transfer, Part B: Fundamentals*, 20(1):115–123, 1991. doi:10.1080/10407799108944997.
- Doormaal J.P.V. e Raithby G.D. Enhancements of the simple method for predicting incompressible fluid flows. *Numerical Heat Transfer*, 7(2):147–163, 1984. doi:10.1080/01495728408961817.
- Ferziger J. e Peric M. *Computational Methods for Fluid Dynamics*. Springer Berlin Heidelberg, 2012. ISBN 9783642976513.
- Issa R. Solution of the implicitly discretised fluid flow equations by operator-splitting. *Journal of Computational Physics*, 62(1):40 – 65, 1986. ISSN 0021-9991. doi:http://dx.doi.org/10.1016/0021-9991(86)90099-9.
- Marek R. e Straub J. Hybrid relaxation - a technique to enhance the rate of convergence of iterative algorithms. *Numerical Heat Transfer, Part B: Fundamentals*, 23(4):483–497, 1993. doi:10.1080/10407799308914912.
- Min C. e Tao W. An under-relaxation factor control method for accelerating the iteration convergence of flow field simulation. *Engineering Computations*, 24(8):793–813, 2007. doi:10.1108/02644400710833314.
- Morii T. e Vierow K. The soar method for automatically optimizing simple relaxation factors. *Numerical Heat Transfer, Part B: Fundamentals*, 38(3):309–332, 2000. doi:10.1080/10407790050192799.
- Moukalled F., Mangani L., e Darwish M. *The finite volume method in computational fluid dynamics: an advanced introduction with OpenFOAM and Matlab*. Fluid mechanics and its applications. Springer, Cham, 2016.
- Odone M.W.N., Toledo E.M., Barra L.P.S., e Silva C.E. Um estudo numérico sobre o método entalpia-porosidade na solução de problemas de mudança de fase. *XXXIV Iberian Latin American Congress on Computational Methods in Engineering, 2013, Goiânia - GO, Brasil*, 2013.
- Odone M.W.N., Toledo E.M., Barra L.P.S., e Sutter L.F.M. Uma implementação do método dos volumes finitos para solução de problemas de mudança de fase. *XXXVI Iberian Latin American Congress on Computational Methods in Engineering, 2015, Rio de Janeiro - RJ, Brasil*, 2015.
- Patankar S. *Numerical Heat Transfer and Fluid Flow*. Series in computational methods in mechanics and thermal sciences. Taylor & Francis, 1980. ISBN 9780891165224.
- Patankar S.V. a calculation procedure for two-dimensional elliptic situations. *Numerical Heat Transfer Part A - applications*, 4:409–425, 1981. doi:10.1080/01495728108961801.
- Ryoo J., Dragojlovic Z., e Kaminski D.A. Control of convergence in a computational fluid dynamics simulation using anfis. *IEEE Transactions on Fuzzy Systems*, 13(1):42–47, 2005. doi:10.1109/TFUZZ.2004.839656.

Versteeg H. e Malalasekera W. *An Introduction to Computational Fluid Dynamics: The Finite Volume Method*. Pearson Education Limited, 2007. ISBN 9780131274983.